Figura 3.7.4.1. Lokalizacja sondowań magnetotellurycznych na tle mapy topograficznej podkład -Mapa Topograficzna Polski źródło: http://mapy.geoportal.gov.pl/wss/service/ img/guest/TOPO/MapServer/WMSServer -rejon badań-Niedamirów, skala 1:25 000

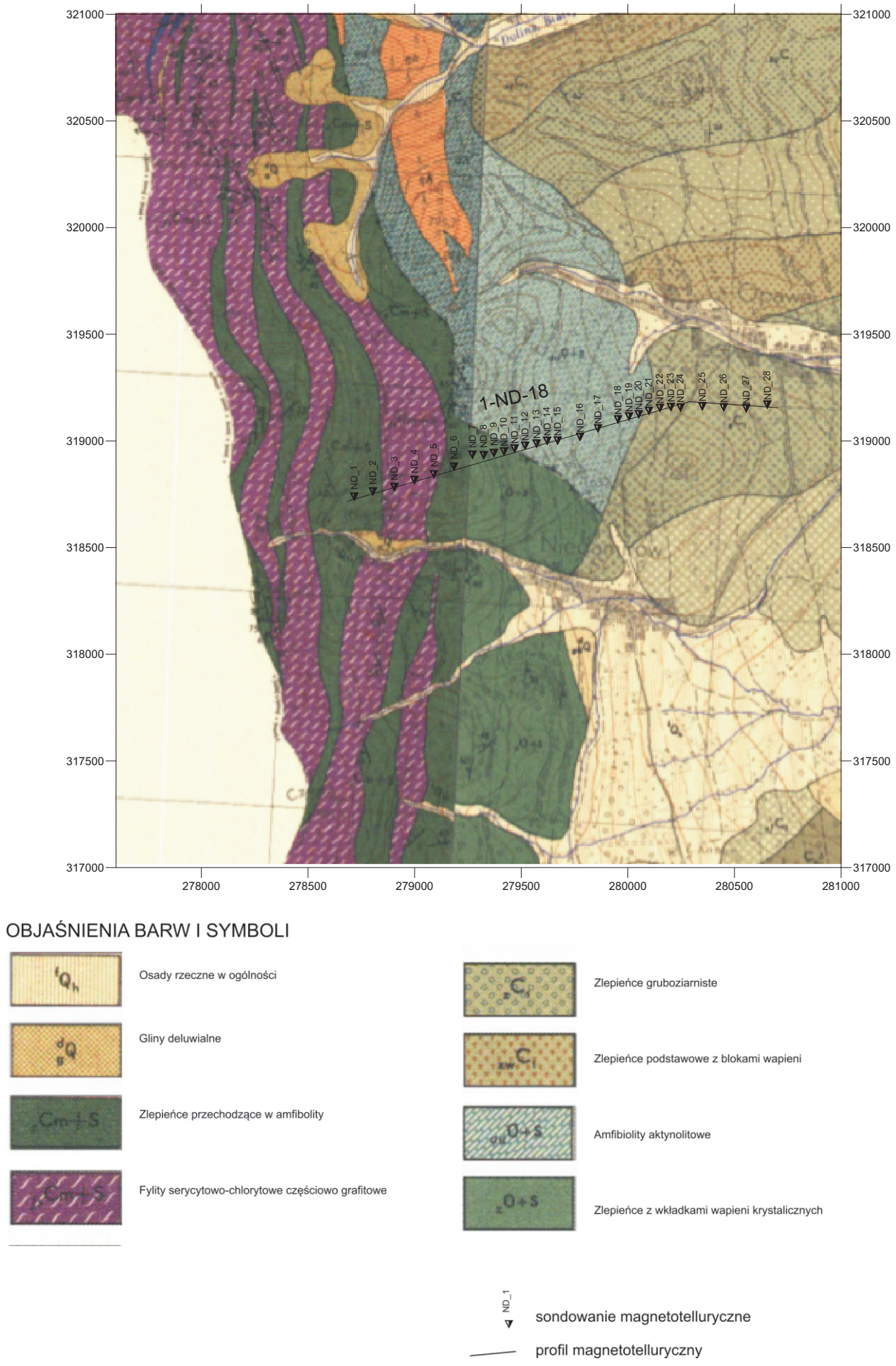

Figura 3.7.4.2. Lokalizacja sondowań magnetotellurycznych na tle Szczegółowej Mapy Geologicznej Sudetów - rejon -Niedamirów, fragment arkuszy: M-33-44-D-c CZEPIEL, opracowała M. Szałamacha-1958 r. i M-33-44-D-c SZCZEPANÓW, opracował J. Szałamacha – 1957 r., skala 1:25 000

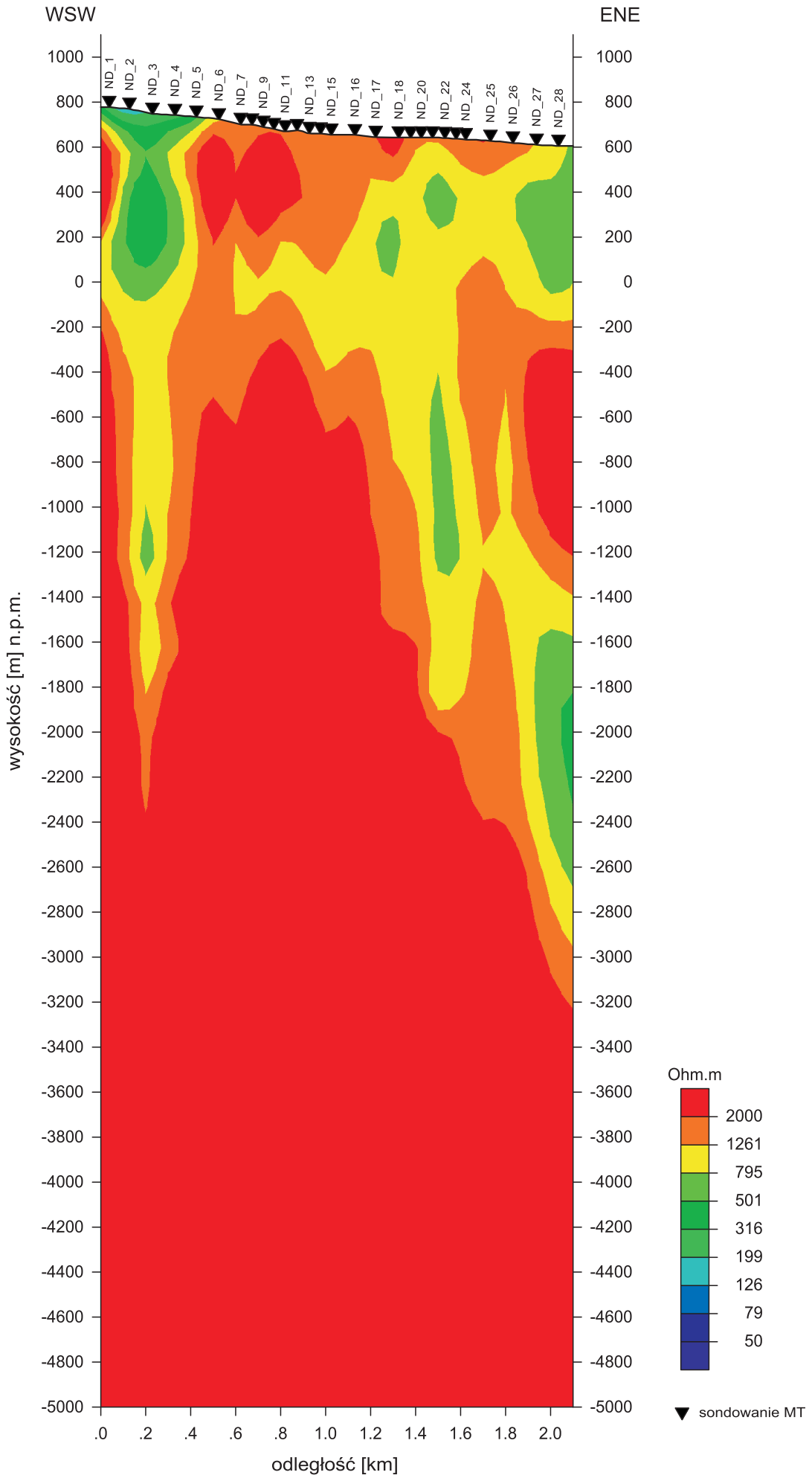

Figura 3.7.4.3. Rozkład oporności wzdłuż profilu 1-ND-18 Niedamirów na podstawie inwersji 1D wg algorytmu Occama dla polaryzacji magnetycznej

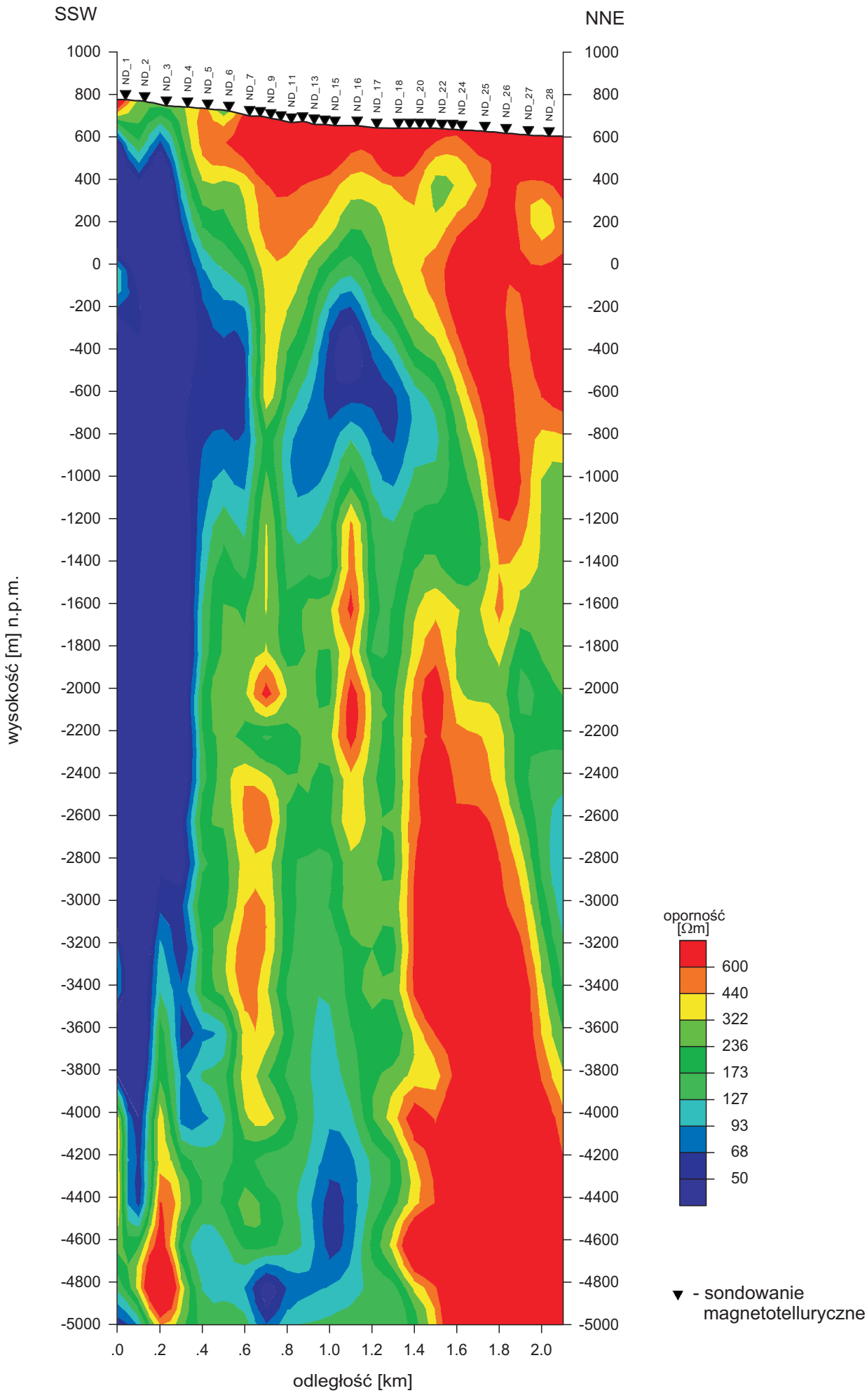

Figura 3.7.4.4. Rozkład oporności wzdłuż profilu 1-ND-18 Niedamirów na podstawie inwersji 1D wg algorytmu Occama dla polaryzacji elektrycznej

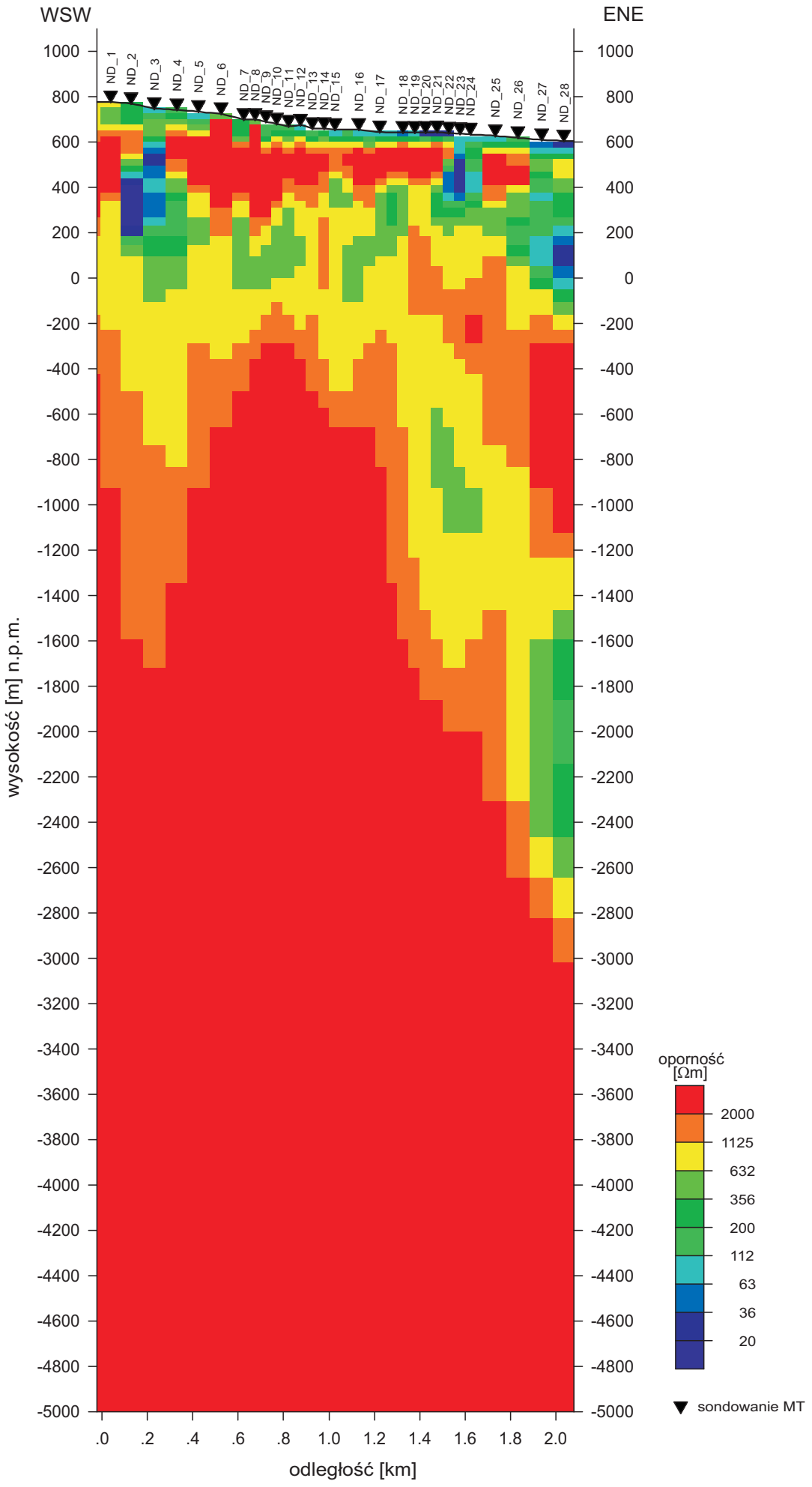

Figura 3.7.4.5. Rozkład oporności wzdłuż profilu 1-ND-18 Niedamirów na podstawie inwersji 2D wg algorytmu NLCG

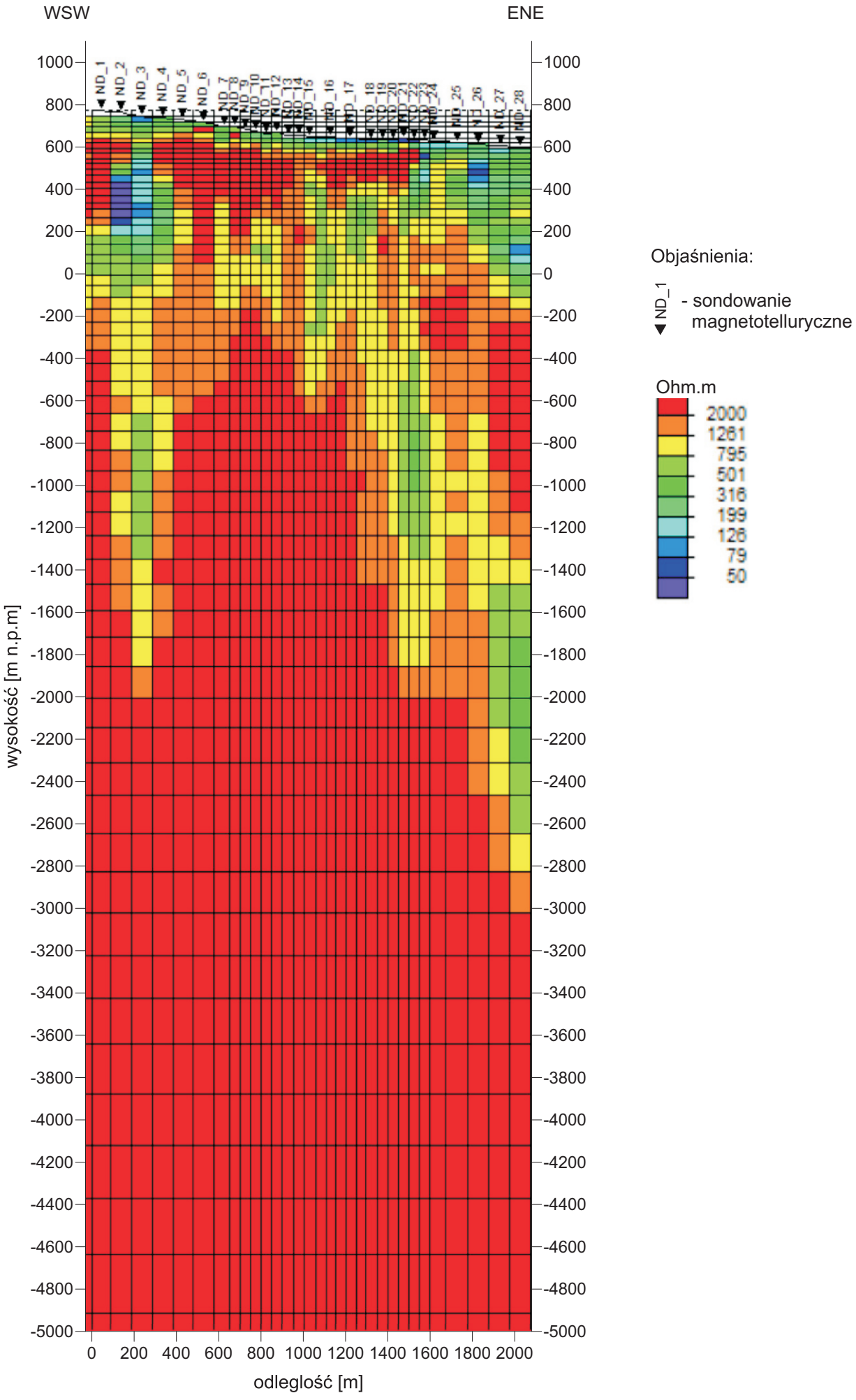

Figura 3.7.4.5a Rozkład oporności wzdłuż profilu 1-ND-18 Niedamirów na podstawie inwersji 2D wg algorytmu NLCG (iteracja 3)

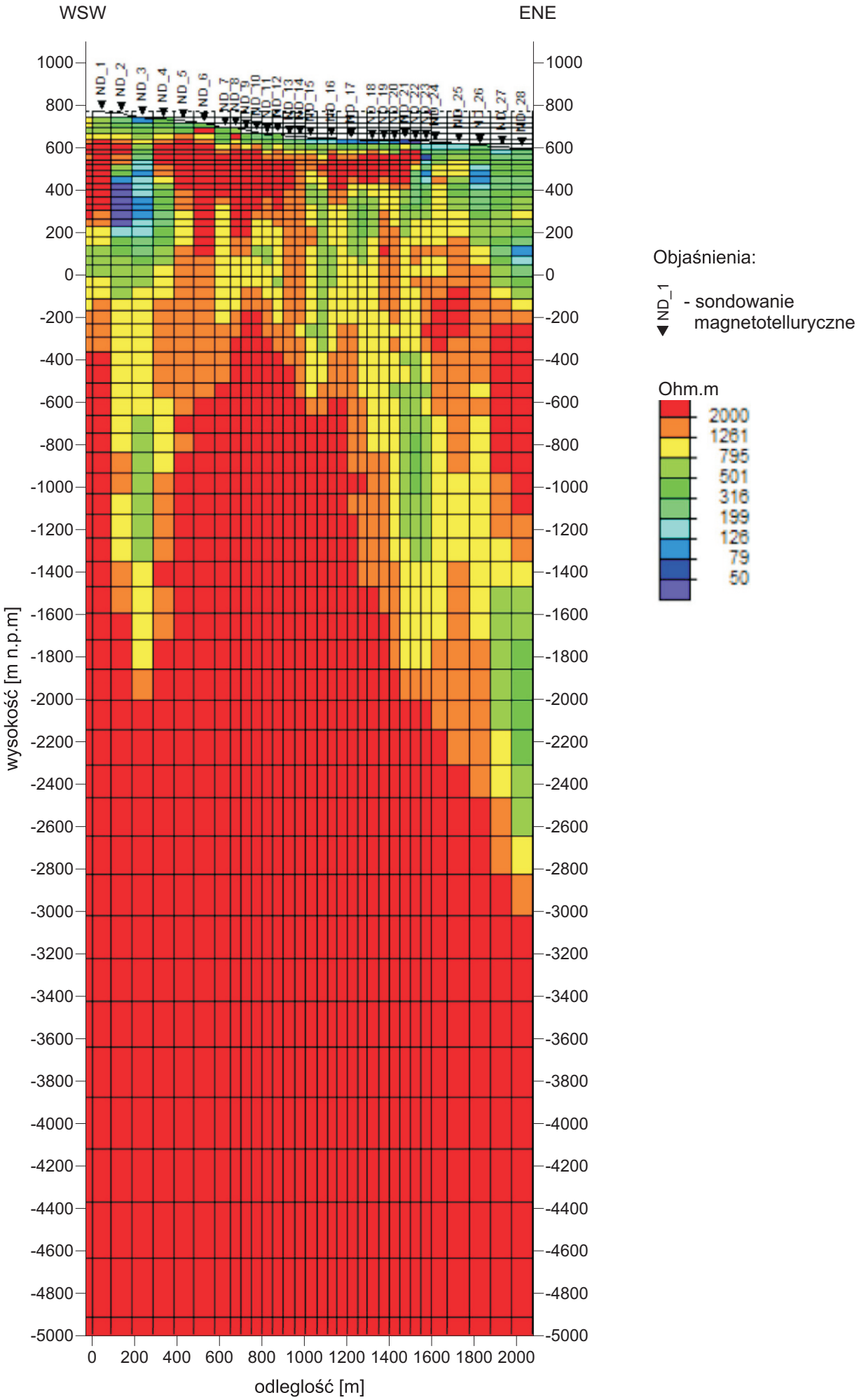

Figura 3.7.4.5b Rozkład oporności wzdłuż profilu 1-ND-18 Niedamirów na podstawie inwersji 2D wg algorytmu NLCG (iteracja 6)

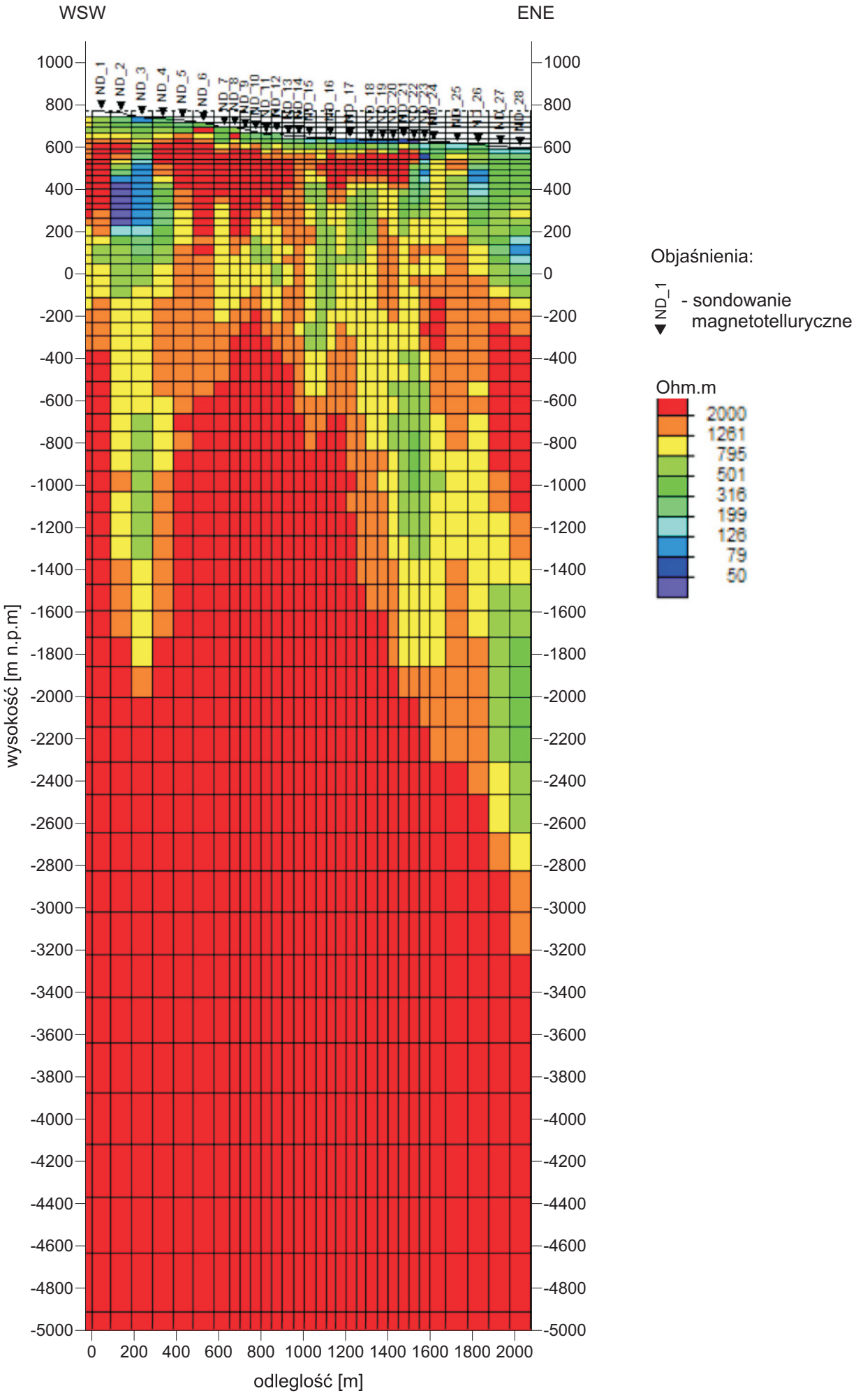

Figura 3.7.4.5c Rozkład oporności wzdłuż profilu 1-ND-18 Niedamirów na podstawie inwersji 2D wg algorytmu NLCG (iteracja 9)

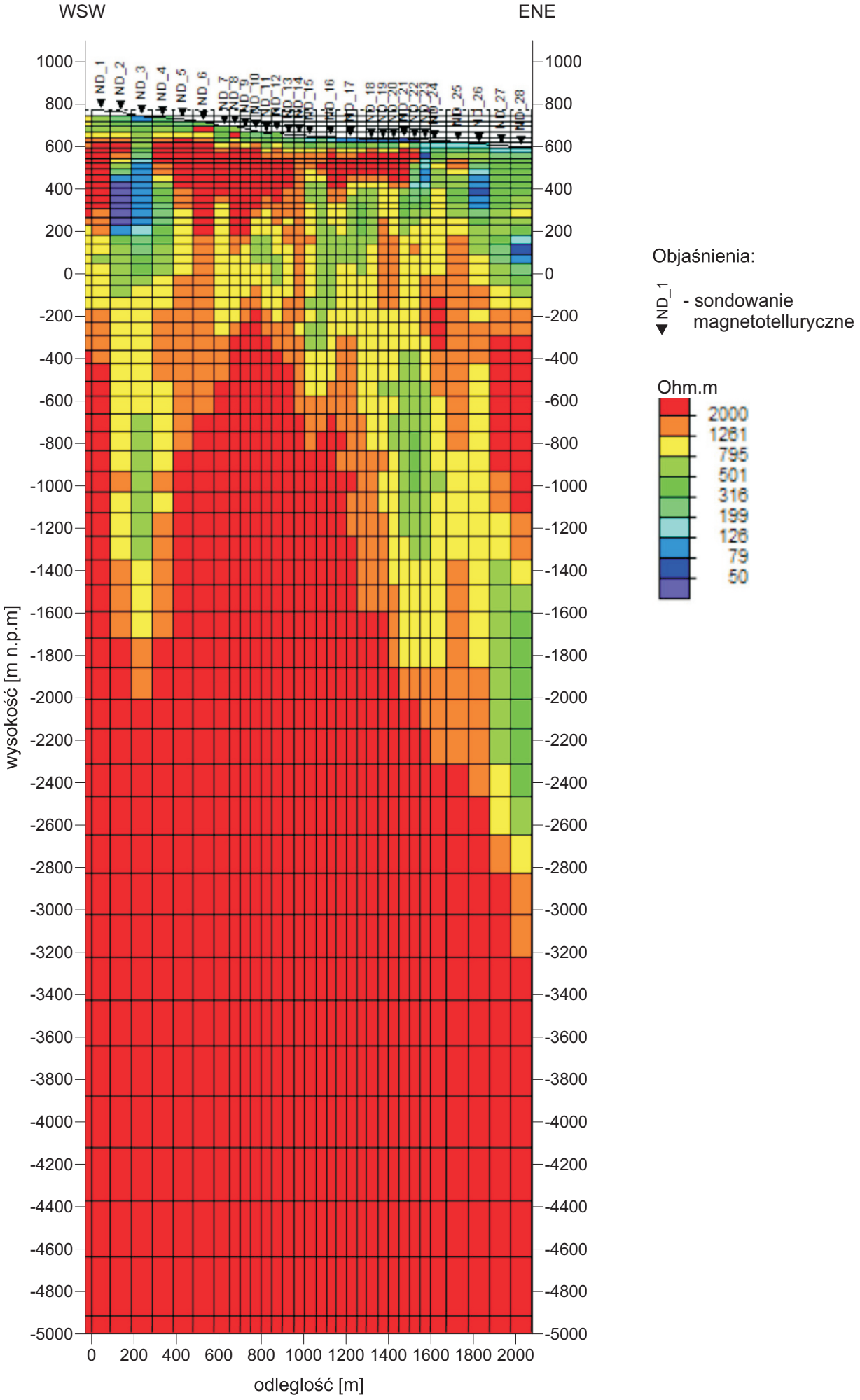

Figura 3.7.4.5d Rozkład oporności wzdłuż profilu 1-ND-18 Niedamirów na podstawie inwersji 2D wg algorytmu NLCG (iteracja 12)

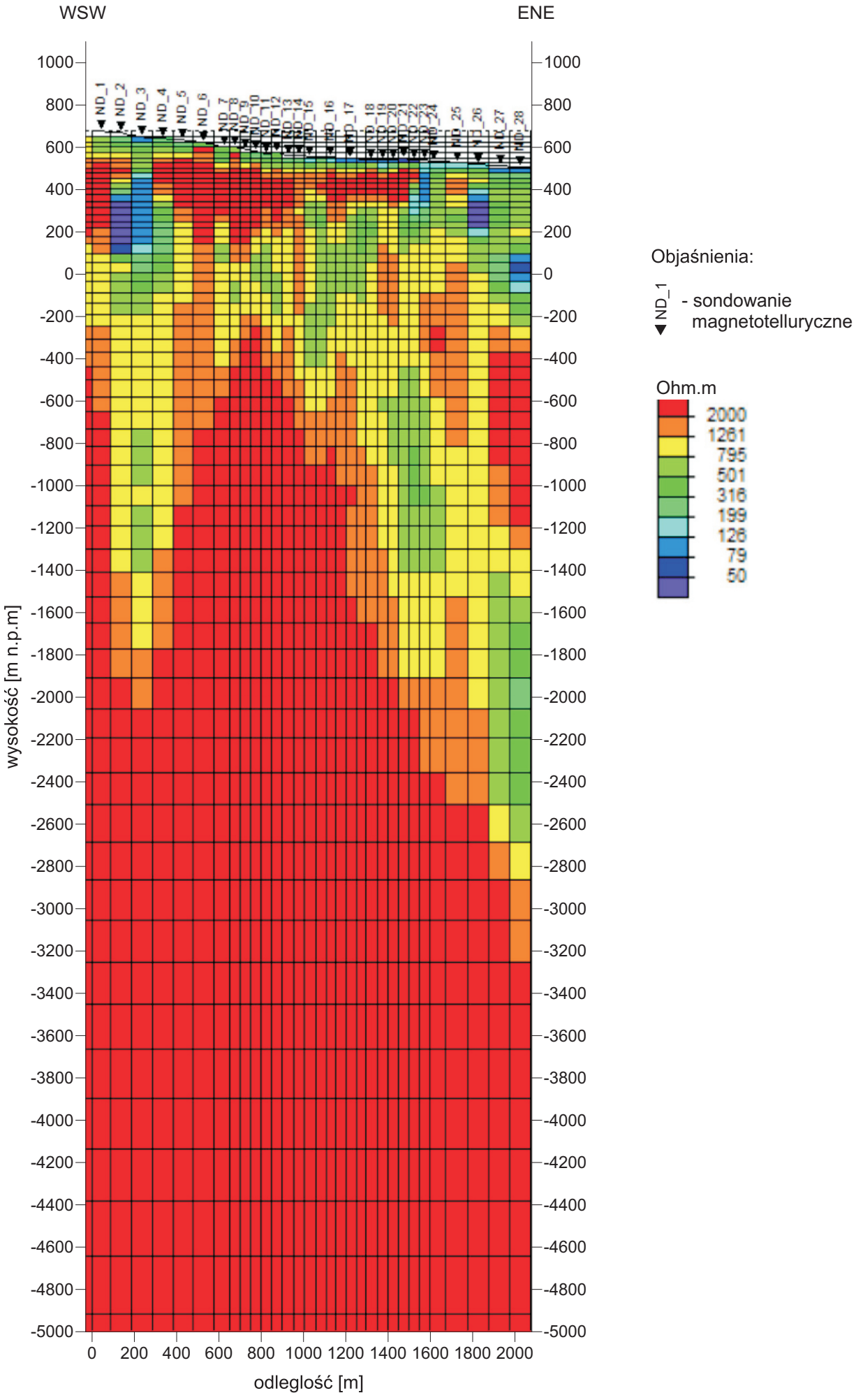

Figura 3.7.4.5e Rozkład oporności wzdłuż profilu 1-ND-18 Niedamirów na podstawie inwersji 2D wg algorytmu NLCG (iteracja 15)

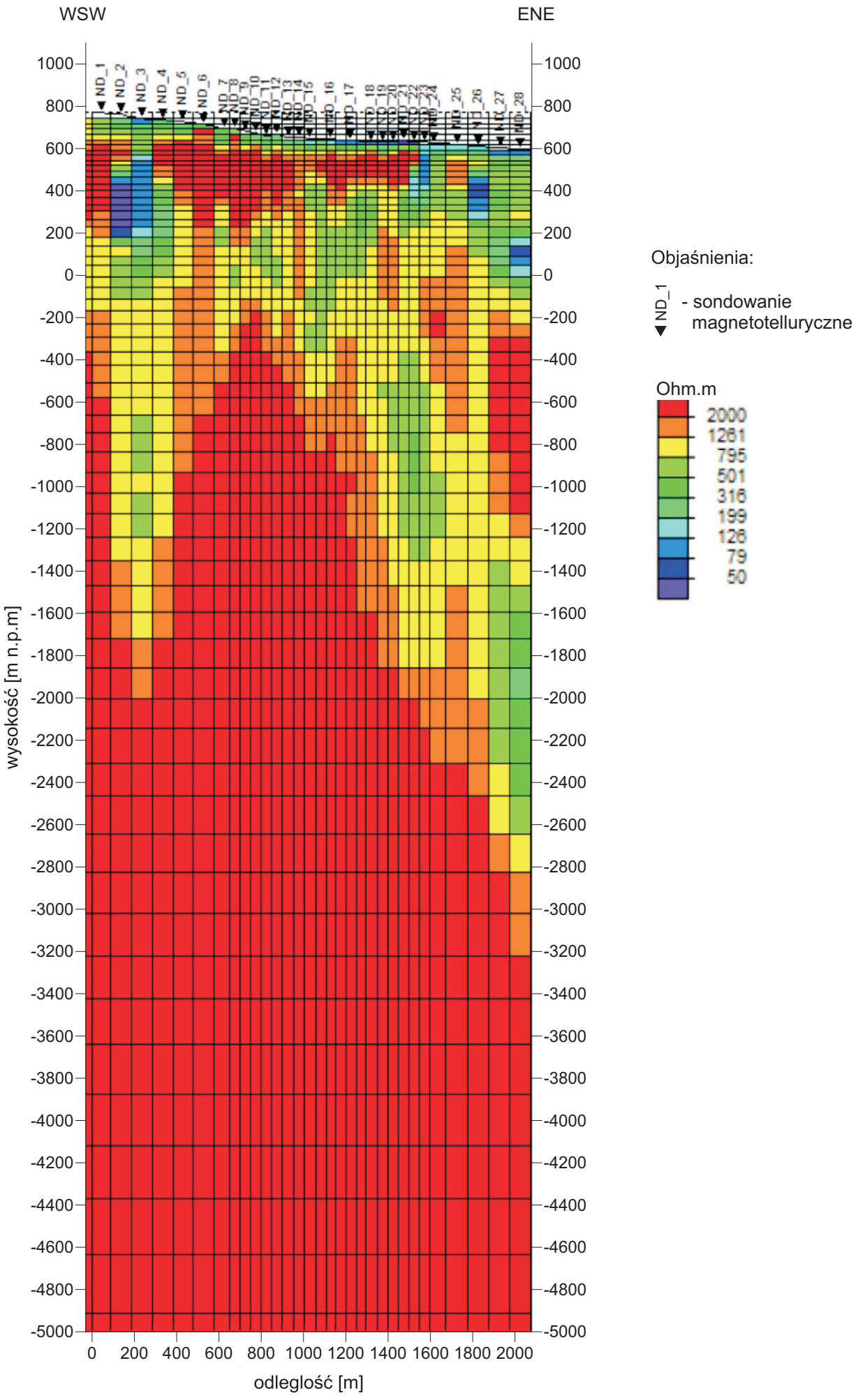

Figura 3.7.4.5f Rozkład oporności wzdłuż profilu 1-ND-18 Niedamirów na podstawie inwersji 2D wg algorytmu NLCG (iteracja 18)

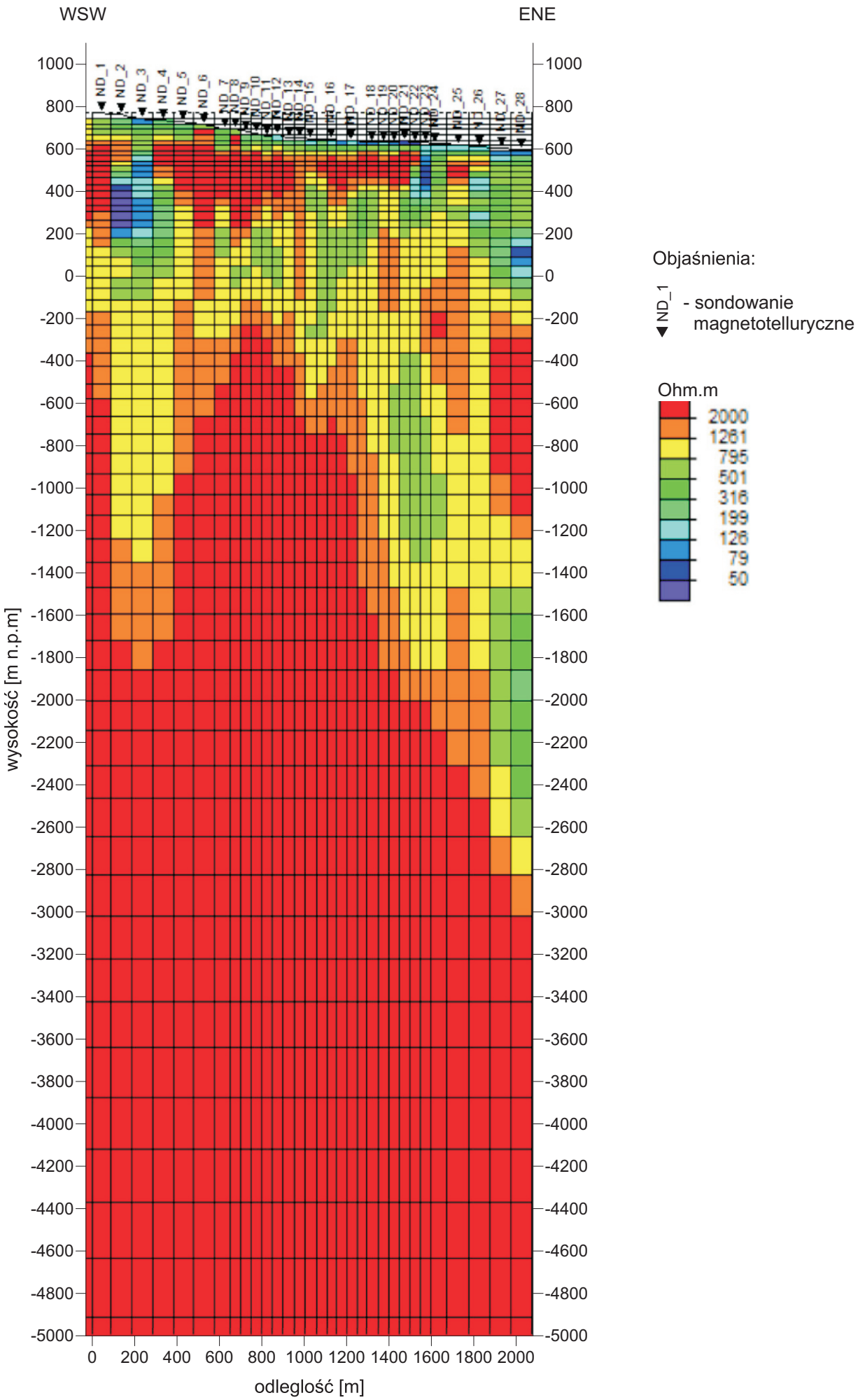

Figura 3.7.4.5g Rozkład oporności wzdłuż profilu 1-ND-18 Niedamirów na podstawie inwersji 2D wg algorytmu NLCG (iteracja 21)

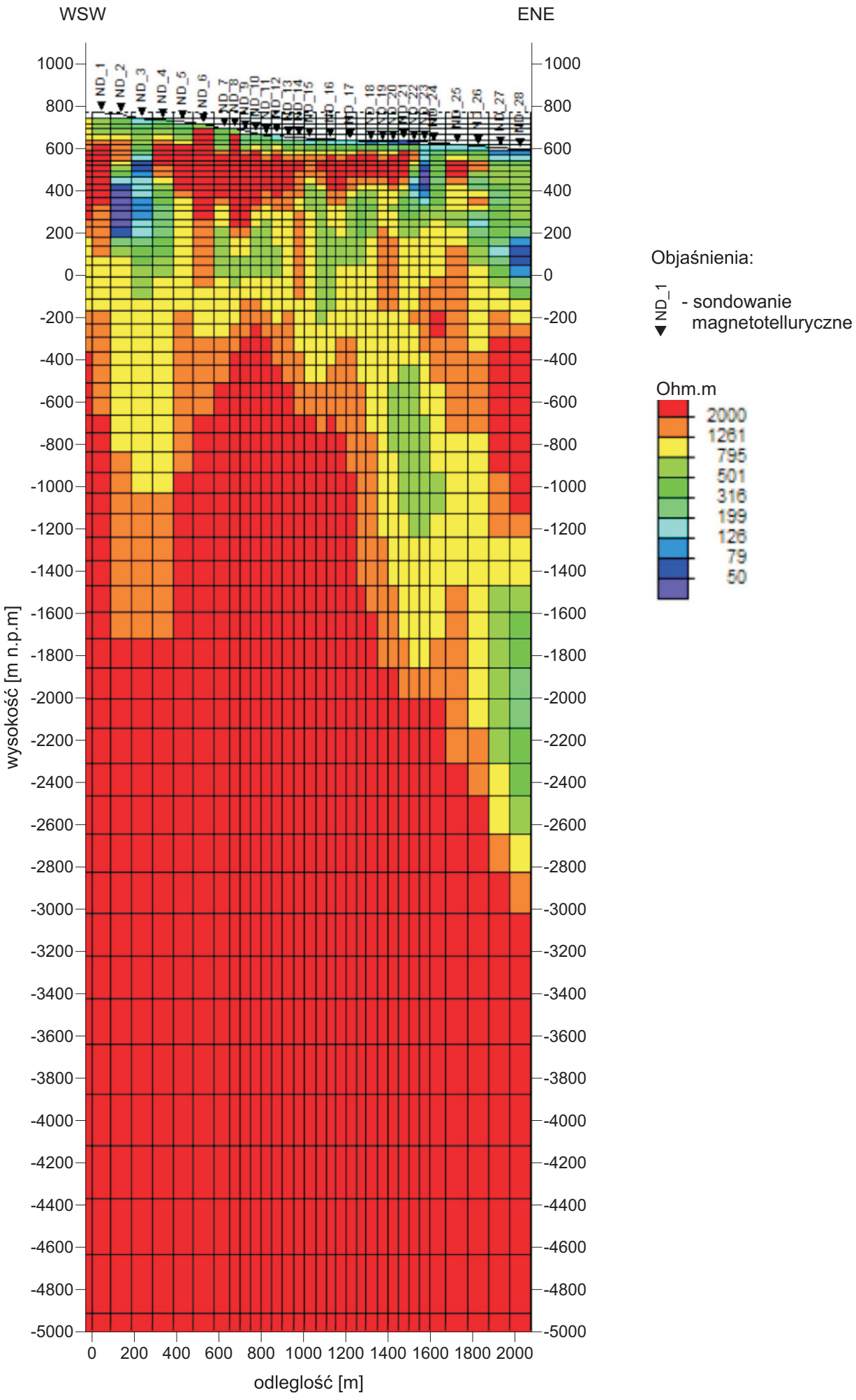

Figura 3.7.4.5h Rozkład oporności wzdłuż profilu 1-ND-18 Niedamirów na podstawie inwersji 2D wg algorytmu NLCG (iteracja 24)

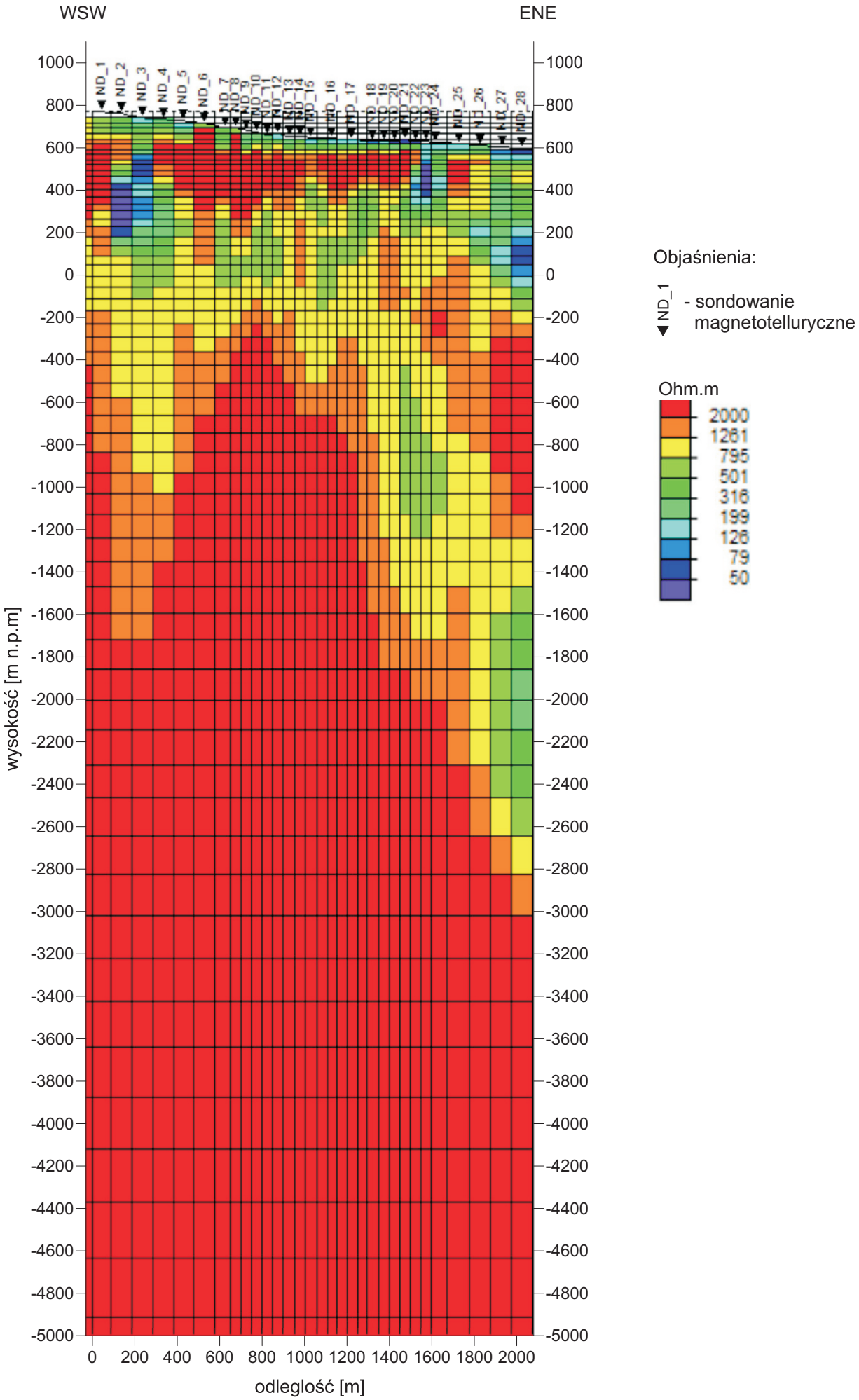

Figura 3.7.4.5i Rozkład oporności wzdłuż profilu 1-ND-18 Niedamirów na podstawie inwersji 2D wg algorytmu NLCG (iteracja 27)

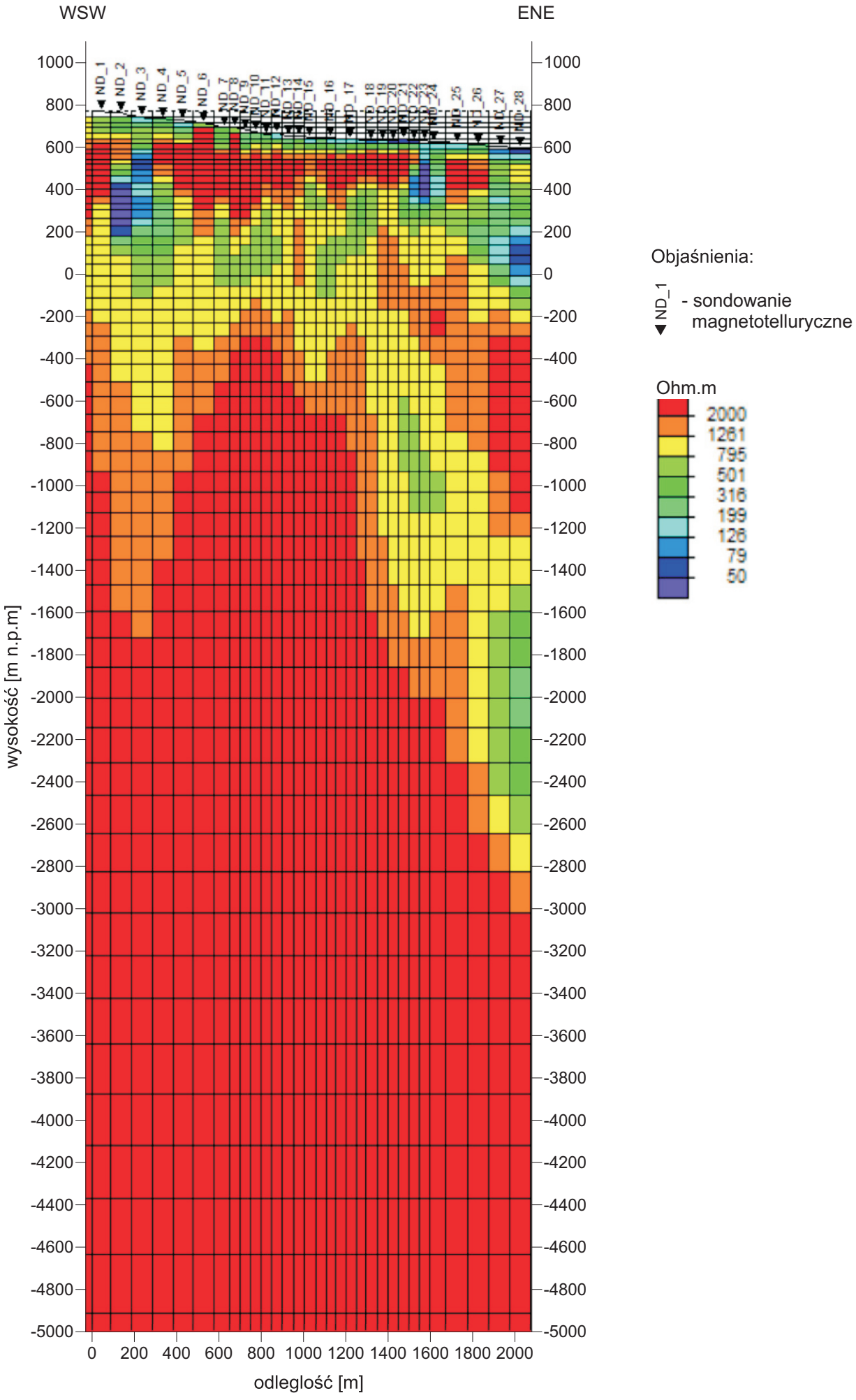

Figura 3.7.4.5j Rozkład oporności wzdłuż profilu 1-ND-18 Niedamirów na podstawie inwersji 2D wg algorytmu NLCG (iteracja 30)

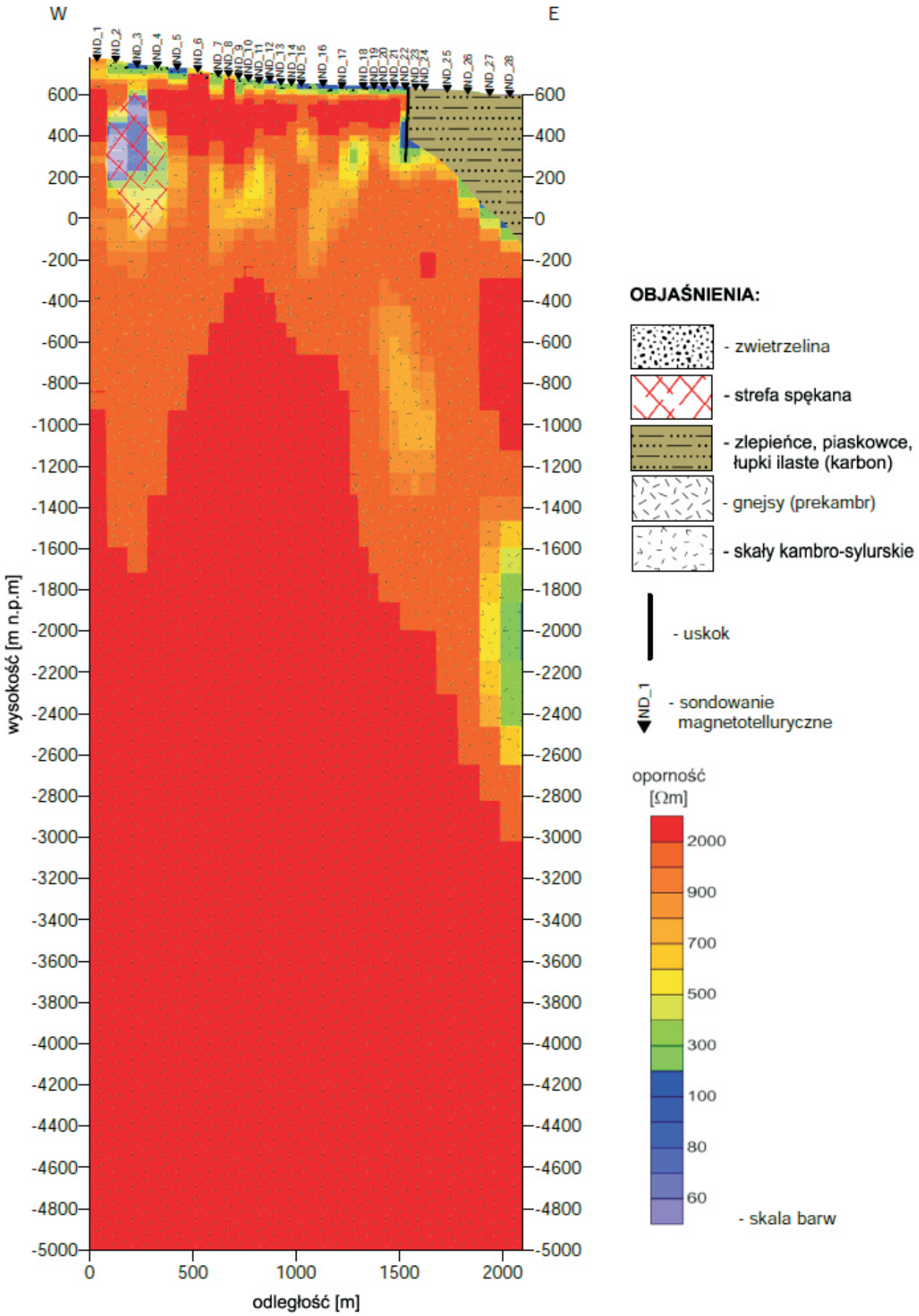

Figura 3.7.4.6. Interpretacja geologiczna wzdłuż profilu 1-ND-18 Niedamirów wykonana na podstawie rozkładu oporności uzyskanego w wyniku inwersji 2D wg algorytmu NLCG oraz danych geologicznych, skala